

## بررسی ارتباط نشانه‌های بهن مقياس اقلیمی با بارش خراسان

\* محمد موسوی بایگی<sup>۱</sup>، غلامعباس فلاح‌قاله‌ری<sup>۲</sup> و مجید حبیبی‌نوخندان<sup>۳</sup>

<sup>۱</sup> استادیار گروه مهندسی آب دانشگاه فردوسی مشهد، <sup>۲</sup> دانشجوی کارشناسی ارشد گروه مهندسی آب دانشگاه فردوسی مشهد.

<sup>۳</sup> عضو هیأت علمی پژوهشکده هواشناسی

تاریخ دریافت: ۸۶/۳/۶ + تاریخ پذیرش: ۸۶/۱۲/۷

### چکیده

بررسی فرآیندهای آب و هوایی، ابزار مناسبی در اختیار مدیران حوزه‌های مختلف قرار می‌دهد تا با در نظر گرفتن این بررسی‌ها، سیاست‌های آینده را در جهت بهبود نمودن صرف هزینه‌ها و امکانات بهره‌وری حداقل طرح ریزی کنند. هدف از این تحقیق بررسی ارتباط نشانه‌های بهن مقياس اقلیمی با بارش استان خراسان بوده است. پس از بررسی‌های لازم و تکمیل حلأهای آماری موجود، تعداد ۳۷ ایستگاه سینوپتیک، اقلیم‌شناسی و باران‌سنجی تحت پوشش سازمان هواشناسی کشور، انتخاب و آزمون همگنی بر روی داده‌های بارش فصلی (دسامبر تا می) این ایستگاه‌ها انجام شد. سپس، سری زمانی بارش متوسط منطقه‌ای بهروش مدل رقومی ارتفاعی محاسبه شد. در مرحله بعد، سری زمانی متوسط دمای سطح دریا و اختلاف دمای سطح دریا و سطح ۱۰۰۰ میلی‌باری در بازه‌های زمانی مختلف محاسبه و استاندارد شدند. آنگاه، همبستگی نشانه‌های بهن مقياس اقلیمی در مناطق شاخص انتخاب شده با بارش متوسط منطقه‌ای در بازه زمانی دسامبر تا می، محاسبه شد. نتایج نشان‌دهنده ارتباط تغییرات دمای سطح دریا، در مناطقی نظیر دریای سیاه در بازه سپتامبر تا نوامبر، سیبری در بازه ژوئن تا توامبر، شمال خلیج فارس در ماه توامبر، دریای شمال در بازه اکبر تا توامبر و ایسلند، جنوب دریای سرخ و غرب مدیترانه در بازه اگوست تا توامبر یا تغییرات بارش متوسط منطقه می‌باشد. همچنین نتایج نشان‌دهنده ارتباط تغییرات اختلاف دمای سطح دریا و سطح ۱۰۰۰ میلی‌باری با بارش متوسط منطقه در مناطقی مانند گرینلند در بازه ژوئی تا توامبر، ایسلند در بازه ژوئن تا توامبر، دریای لابرادور در بازه زمانی اگوست تا توامبر و شمال خلیج فارس در دوره اکبر تا توامبر می‌باشد.

واژه‌های کلیدی: بارش، سیگنال‌های هواشناسی، تغییرات دما، تغییرات فشار، سطح دریا

بهن مقياس اقلیمی یاد می‌شود. این نشانه‌ها براساس فشار سطح دریا، اختلاف فشار سطح دریا، دمای سطح دریا، اختلاف دمای سطح دریا و دیگر پارامترهای هواشناسی به دست می‌آیند.  
نیکلسون و سلاتو (۲۰۰۰) ناشر لایسا<sup>۱</sup> را بر بارش

### مقدمه

یکی از روش‌های پیش‌بینی آب و هوایی، استفاده از علائم و پدیده‌های مشخصی از قبل تغییرات دوره‌ای فشار سطح دریا، تغییرات دوره‌ای دمای سطح دریا و مانند اینهاست، که از آنها به عنوان نشانه‌های



تغییرات رخدادهای سرد مشابه نوسانات مثبت NAO<sup>6</sup> می‌باشد.

ونگ و همکاران (۲۰۰۷) تأثیر نشانه‌های اقلیمی بهن مقیاسی نظیر NAO و SOI<sup>7</sup> را بر بارش فصلی حوضه رودخانه کلرادو در آمریکا تحلیل کرده‌اند. نتایج حاکی از آن است که مدل‌سازی سیستم‌های دینامیکی اقلیم می‌تواند در توسعه یک مدل پیش‌بینی بلند مدت با ارزش برای مدیریت منابع آب نتیجه بخش باشد. نظام اسدات (۲۰۰۱) نتیجه گرفت که تغییرات دمای سطح آب در خلیج فارس، تأثیر معنی‌داری بر تغییرات بارندگی در مناطق جنوب و جنوب‌غربی ایران دارد. مطالعات وی نشان داد که بارش زمستانه (ژانویه تا مارس) مناطق مزبور با SST<sup>8</sup> خلیج فارس نسبت عکس دارد. کوره‌پزان (۲۰۰۳) تأثیر نشانه‌های بهن مقیاس اقلیمی NAO و SOI را بر بارش ایستگاه‌های منطقه جنوب‌غرب کثور بررسی کرده است. نتایج او نشان داد مدل فازی<sup>9</sup> با دقت قابل قبولی می‌تواند بارش را پیش‌بینی کند. زهرایی و همکاران (۲۰۰۵) تأثیر نشانه‌های بهن مقیاس اقلیمی را بر بارش مناطق غرب ایران بررسی کردند. نتایج آنها نشان‌دهنده ارتباط معنی‌دار نشانه‌های بهن مقیاس اقلیمی با بارش منطقه غرب کثور است. با توجه به اهمیت پیش‌بینی بارش در بسیاری از فرآیندهای تضمیم‌گیری نظیر مدیریت منابع آب و کشاورزی، در این تحقیق سعی شده است با استفاده از داده‌های دمای سطح دریا و اختلاف دمای سطح دریا و سطح ۱۰۰۰ میلی‌باری در نقاط شاخص انتخاب شده، ارتباط نشانه‌های بهن مقیاس اقلیمی با بارش تعیین شود.

## مواد و روش‌ها

منطقه مورد مطالعه، منطقه مورد مطالعه در این تحقیق منطقه خراسان شامل سه استان خراسان شمالی، رضوی و جنوبی می‌باشد. شکل ۱ نقشه محدوده مورد مطالعه و نام ایستگاه‌های مورد استفاده را نشان می‌دهد.

- 6- North Atlantic Oscillation (NAO)
- 7- Southern Oscillation Index (SOI)
- 8- Sea Surface Temperature (SST)
- 9- Fuzzy

آفریقا با استفاده از روش هارمونیک بررسی نمودند. نتایج آنان نشان داد که تأثیر پذیری بارندگی مناطق استوایی و جنوب‌شرقی آفریقا از لاتینا پیچیده‌تر و وابستگی بیشتری را به زمان و مکان از خود نشان می‌دهد. ماریوتی و همکاران (۲۰۰۲) رابطه تغییرات باران‌های مدیترانه‌ای اروپا و "انسو"<sup>10</sup> را بررسی نمودند. نتایج به دست آمده توسط آنها، نشان‌گر تأثیر معنی‌دار انسو بر بارش بخش مدیترانه‌ای اروپا می‌باشد. آبراهام و همکاران (۲۰۰۴) داده‌های بارش را در ایالت کرلا<sup>11</sup> در بخش جنوبی پنیسولا<sup>12</sup> هند تحلیل کرده‌اند. آنان نتیجه گرفتند که توزیع فضایی ضریب همبستگی بین بارش مونسونی هند و ارتفاع زئو پتانسیل<sup>13</sup> ماهیانه سطح ۵۰۰ هکتو پاسکال در خلال ماه‌های ژانویه تا می، الگوی همبستگی بالایی را نشان می‌دهد.

وان الدنبرگ و همکاران (۲۰۰۲) مدل پیش‌بینی فصلی مرکز اروپایی پیش‌بینی میان مقیاس آب و هوا برای ECMWF<sup>14</sup> را با مدل‌های آماری در منطقه شرق و جنوب آفریقا مورد مقایسه قرار داده‌اند. برای این کار از نشانه‌های اقلیمی نظیر انسو استفاده کردند. نتایج حاکی از آن است که پیش‌بینی بارندگی مدل‌های ECMWF نسبت به مدل‌های آماری در بازه زمانی دسامبر تا فوریه (آذر تا بهمن) بهتر است، اما در بازه مارس تا می (اسفند تا اردیبهشت) دقت آنها کمتر است. گیسلا<sup>15</sup> و همکاران (۲۰۰۴) بارش‌های فصلی اتیوپی را در بازه ژوئن تا سپتامبر بررسی کردند و نشان دادند که پیش‌بینی بارش برای بخش غربی مرکز اتیوپی خیلی مناسب است. پوزو-واسکویز (۲۰۰۱)، ارتباط بین انسو و چرخه اتمسفری زمستانه و دما در ناحیه اقیانوس اطلس شمالی را بررسی نموده‌اند. آنان نتیجه گرفتند که در این ناحیه در زمستان هیچ ارتباط آماری معنی‌داری بین رخدادهای گرم انسو و الگوهای فشار سطح دریا وجود ندارد، در حالی که



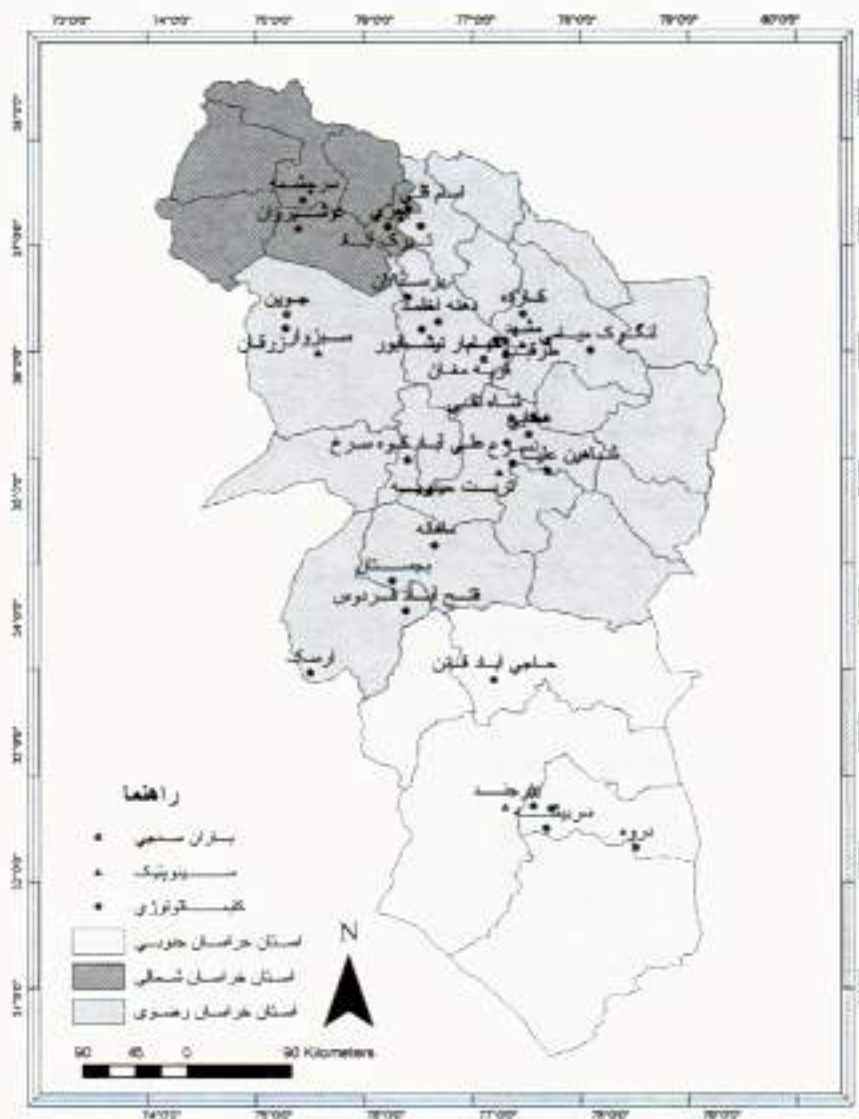
1- El Niño Southern Oscillation Index (ENSO)

2- Kerela

3- Penisola

4- Geopotential

5- European Centre for Medium-Range Weather Forecast



شکل ۱- نقشه محدوده مورد مطالعه به همراه ایستگاه‌های منتخب.

برای آزمون همگنی داده‌های بارش از آزمون ران تست<sup>۲</sup> استفاده شده است (علیزاده، ۲۰۰۱).

**محاسبه بارش متوسط منطقه‌ای:** برای به دست آوردن بارش متوسط منطقه‌ای از مدل رقومی ارتفاعی<sup>۳</sup> استفاده شده است. با توجه به معنی دار بودن ضریب همبستگی بین بارش و ارتفاع و معنی دار بودن آزمون  $F$  در سطح ۵ درصد و ترمال بودن باقی مانده‌ها در اکثر سال‌های مورد مطالعه، از مدل رقومی ارتفاعی برای محاسبه بارش متوسط منطقه‌ای استفاده شده است. لازم به ذکر است برای تحلیل‌های آماری، از نرم‌افزار SPSS<sup>۴</sup> نسخه ۱۰/۵ استفاده گردید. گام‌های زیر برای به دست آوردن سری زمانی بارش متوسط منطقه‌ای با استفاده از مدل رقومی ارتفاعی انجام شد: ۱- ساختن خاکلهای ورودی نرم‌افزار

داده‌های مورد نیاز: سری زمانی مورد مطالعه در این تحقیق، مجموع بارش فصلی ۳۳ ساله دسامبر تا می (آذر تا اردیبهشت) در فاصله بین سال‌های ۱۹۷۰-۲۰۰۲ میلادی می‌باشد. داده‌های بارش فصلی برای هر سال میلادی شامل بازندگی ۳۷ ایستگاه سینوپتیک، اقلیم‌شناسی و باران‌سنجی می‌باشد که از سازمان هوافضای ایجاد شده است. از این تعداد، چهار ایستگاه سینوپتیک، پنج ایستگاه اقلیم‌شناسی و بقیه باران‌سنجی بوده است. داده‌های دمای سطح دریا از سایت NOAA در شبکه‌هایی با فدرات نفکیک  $2/5 \times 2/5$  درجه در فاصله بین سال‌های ۱۹۷۰-۲۰۰۲ میلادی استخراج شده است.

**بازسازی و آزمون همگنی داده‌ها:** برای تکمیل برخی از نواقص اطلاعاتی بارش از روش تفاضل‌ها و نسبت‌ها و

2- Run-Test

3- Digital Elevation Model (DEM)

4- Statistical Package for Social Science

1-National Oceanic and Atmospheric Administration (Noaa)

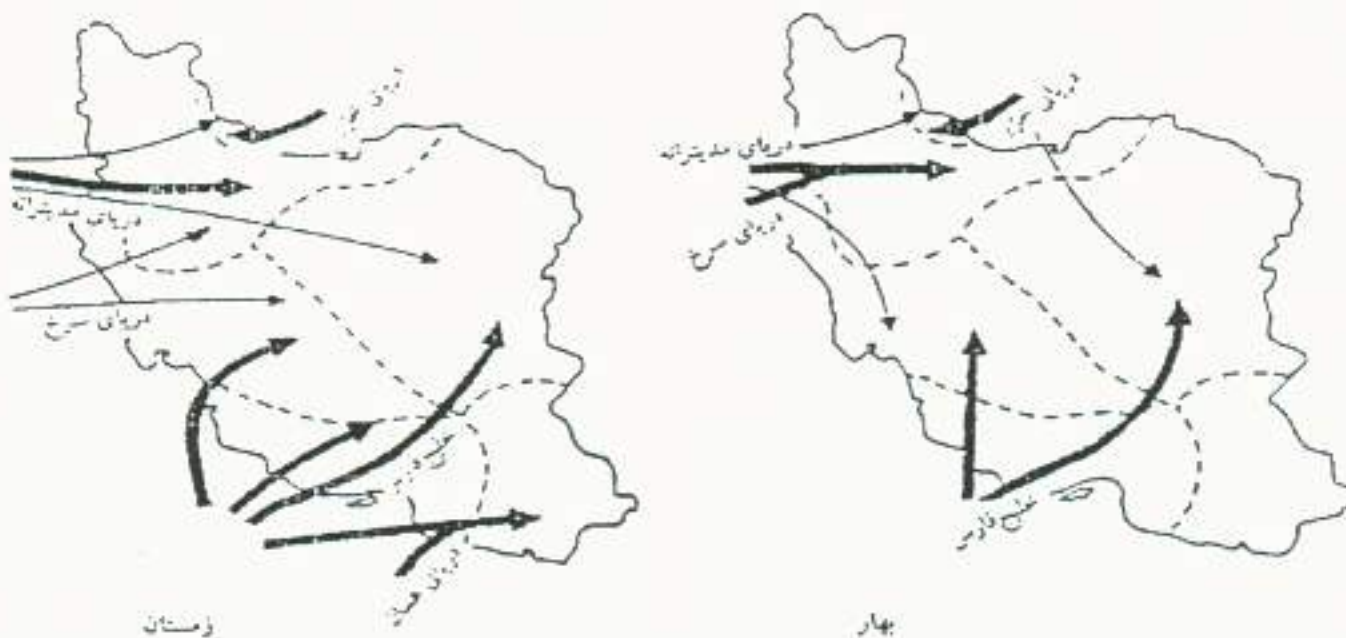


بررسی ارتباط نشانه‌های پهن مقیاس شاخص با بارش منطقه مورد مطالعه: به منظور بررسی ارتباط تغییرات SST و  $\Delta SST$ <sup>۱</sup> (اختلاف دمای سطح دریا و سطح ۱۰۰۰ میلی‌باری) با بارش در محدوده مورد مطالعه، نقاطی تحت عنوان نقاط شاخص در مناطق مختلفی از دریاهای که بر آب و هوای ایران تأثیرگذار هستند، مورد بررسی قرار گرفت. این نقاط شامل نقاطی در دریای مدیترانه، خلیج فارس، دریای عمان، خلیج عدن، دریای عرب، دریای سرخ، دریای سیاه، دریای آدریاتیک، دریاچه آرال، اقیانوس هند، اقیانوس اطلس، دریای شمال و سیری می‌باشد که مختصات این نقاط در جدول ۱ نشان داده شده است (کارآموز و همکاران، ۲۰۰۵). در انتخاب این مناطق تأثیرپذیری منطقه شمال شرق کشور از الگوهای سینوپتیکی مورد توجه قرار گرفته است (علیجانی، ۲۰۰۲). شکل ۲ منابع عمده رطوبت بارندگی‌های ایران را در فصول زمستان و بهار نشان می‌دهد (علیجانی، ۲۰۰۲). به منظور محاسبه میگنال‌های SST و اختلاف SST برای هر سیگنال ۶ بازه زمانی در هر سال، شامل بازه‌های زوشن تا نوامبر، ژولای تا نوامبر، اگوست تا نوامبر، سپتامبر تا نوامبر، اکتبر تا نوامبر و نوامبر در نظر گرفته شده است تا پوشش کاملی بر روی نشانه‌های پهن مقیاسی که در فصول مختلف ایران را تحت تأثیر قرار می‌دهند، داده شود (کارآموز و همکاران، ۲۰۰۵).

۲- به دست آوردن رابطه بارش با ارتفاع با استفاده از روابط رگرسیونی. ۳- به دست آوردن نقشه رقومی منطقه مورد مطالعه. ۴- انجام تحلیل‌های مربوط به مدل رقومی ارتفاعی (DEM). ۵- تحلیل و ترسیم تغییرات مکانی بارش در منطقه برای هر سال. ۶- به دست آوردن مقادیر متوسط بارش در منطقه مورد مطالعه برای هر سال. ۷- ساخت سری زمانی بارش برای منطقه مورد مطالعه. در این تحقیق از سیگنال‌های دمای سطح دریا (SST) و اختلاف دمای سطح دریا و سطح ۱۰۰۰ میلی‌باری ( $\Delta SST$ ) استفاده شد.

**فصل‌بندی بارندگی و نشانه‌های پهن مقیاس اقلیمی:** فصل‌بندی بارندگی و نشانه‌های پهن مقیاس اقلیمی بر این اساس بوده است که با استفاده از میانگین مقادیر یک نشانه پهن مقیاس خاص در چند ماه متوالی، بتوان میزان مجموع بارندگی فصلی را در ماههای آینده پیش‌بینی نمود. بنابراین سعی شده است که فصول مربوط به نشانه‌های پهن مقیاس، ماههای دارای بارندگی سال آئی بعد را شامل نشوند. با توجه به اینکه در منطقه مورد مطالعه در ماههای مهر و آبان میزان بارندگی کم و در ماههای تابستان در حد صفر می‌باشد، از مجموع بارندگی ماههای آذر تا اردیبهشت (دسامبر تا می) به عنوان سری زمانی بارندگی استفاده شده است.

۲۲۰



شکل ۲- منابع عمده رطوبت بارندگی‌های ایران در فصول بهار و زمستان (علیجانی، ۲۰۰۲).

۱- Sea Surface Temperature Difference (between Surface and 1000 mb Level )

جدول ۱- نام و مختصات نقاط مورد استفاده در تحلیل‌های دمای سطح دریا.

نام نقاط مورد استفاده	عرض جغرافیایی ( شمالی )	طول جغرافیایی	نام نقاط مورد استفاده	عرض جغرافیایی ( شمالی )	طول جغرافیایی
دریای آدریاتیک	۴۳	۱۵	شمال دریای خزر	۴۵	۰۰
خلیج عدن	۱۲/۵	۶۵	شمال خلیج فارس	۲۷	۰۰
شبکه دریایی عرب	۱۴-۲۰	۶۰-۷۰	شمال دریایی مرخ	۲۵	۲۵
دریاچه آرال	۴۰	۶۰	دریایی شمال	۵۶	۵
شبکه آزور	۲۰-۴۱	۲۰۰-۳۳۹	دریای عمان	۲۴	۶۵
آزور	۴۱	۳۳۰	جنوب دریای خزر	۳۹	۵۰
دریاچه بایکال	۵۶	۱۰۷	جنوب دریایی مرخ	۱۴	۴۰
دریای سیاه	۴۵	۳۵	شبکه سیبری	۵۰-۶۰	۹۰-۱۳۰
مرکز اقیانوس آرام	۳۰	۳۲۰	غرب دریای مدیترانه	۴۱	۵
گرینلند	۳۵	۳۰	دریای لابرادور	۶۰	۳۰۹
اقیانوس هند	۵-۱۴	۶۰-۷۰	شبکه ایسلند	۵۴-۷۰	۳۰۰-۳۵۰

۳- آزمون F برای معنی‌دار بودن رگرسیون خطی (رضایی‌پژند، ۲۰۰۲).

در رابطه با روش‌های رگرسیون، آزمایش‌ها را می‌توان به دو دسته تقسیم کرد:

۱- آزمایش‌هایی که در آنها میزان متغیر مستقل (X) توسط محقق تعیین شده است.

۲- آزمایش‌هایی که در آنها محقق، میزان متغیر مستقل (X) را از قبل تعیین نکرده و یا اصولاً کنترلی روی آنها ندارد.

خط رگرسیون به دست آمده  $Y = a + bx$  الزاماً معرف رابطه دو متغیر نبوده، بلکه مناسب‌ترین خط مستقیم، معرف رابطه مذکور می‌باشد. بنابراین چنانچه یک خط مستقیم برای منظور محقق کافی باشد، می‌تواند محاسبات را برای به دست آوردن مناسب‌ترین خط مستقیم روی داده‌های خود انجام دهد. بنابراین محقق در دو صورت مشاهدات خود را جهت به دست آوردن معادله  $Y = a + bx$  مورد تجزیه واریانس قرار می‌دهد:

۱- با توجه به تجربه‌های قبلی می‌داند که رابطه بین دو متغیر یک رابطه خطی است.

۲- حداقل در محدوده نیمارهای او، یک رابطه خطی ماده برای منظورش کافی باشد. بنابراین در مواردی که

تجزیه و تحلیل‌های آماری: در این تحقیق، از مقادیر استاندارد شده سیگنال‌ها استفاده شد. در مواردی که از یک عنصر و یک واحد اندازه‌گیری استفاده می‌شود، استاندارد کردن داده‌ها الزامی نیست، اگرچه در همه موارد نمرات استاندارد مناسب‌تر از داده‌های خام هستند (علیجانی، ۲۰۰۲). برای استاندارد کردن داده‌ها از فرمول زیر در نرم افزار اکسل<sup>۱</sup> استفاده شده است:

$$z = (x - \mu) / \sigma$$

در این فرمول  $\mu$  میانگین سیگنال‌ها و  $\sigma$  انحراف معیار سیگنال‌ها و  $x$  مقدار سیگنال است. همچنین برای انجام آزمون‌های آماری لازم و به دست آوردن همبستگی بین سیگنال‌های شاخص با بارش منطقه از دو نرم افزار SPSS نسخه ۱۰/۵ و جامپ<sup>۲</sup> نسخه ۴ و برای مرتب کردن داده‌های خام از نرم افزار اکسل استفاده شد.

همان‌طور که می‌دانیم توزیع F، بیشتر در آزمون‌های آماری به کار می‌رود که چند نمونه آنها به شرح زیر است:

۱- آزمون F برای تساوی واریانس‌های دو جامعه

۲- آزمون F برای معنی‌دار بودن ضریب همبستگی چندگانه



سطح دریا در مناطق شاخص در جدول ۲ آورده داده شده است. همان طور که مشاهده می شود، ضریب همبستگی بین تغیرات دمای سطح دریا با بارش منطقه در بازه های زمانی سپتامبر تا نوامبر دریای سیاه، اگوست تا نوامبر شبکه ایسلند، ماه نوامبر شمال خلیج فارس، اکتبر تا نوامبر دریای شمال، اگوست تا نوامبر جنوب دریای سرخ، زونن تا نوامبر شبکه سیبری و اگوست تا نوامبر غرب دریای مدیترانه منفی بوده و ارتباطی را با وقوع دوره های بالاتر و پایین تر از میانگین نشان می دهد و می توانند به عنوان شاخصی برای پیش بینی وقوع دوره های کم بارش و پر بارش در منطقه به کار برده شوند. همان طور که در جدول ۲ دیده می شود، ضریب همبستگی بین دمای سطح دریا و بارش منطقه در بازه زمانی اگوست تا نوامبر غرب دریای مدیترانه، اکتبر تا نوامبر دریای شمال و زونن تا نوامبر شبکه سیبری از دیگر نشانه های پهن مقیاس بیشتر بوده و در سطح ۱ درصد معنی دار است. به عنوان مثال، شکل ۲ نتایج این بررسی ها را برای SST استاندارد شده فصل اکتبر تا نوامبر دریای شمال نشان می دهد. معادله خط رگرسیون تغیرات بارش فصل بعد نسبت به SST

استاندارد شده اکتبر تا نوامبر دریای شمال عبارت است از:

$$R = 20.66 - 28.6 \text{ SST}_{\text{std}}$$

SST در معادله فوق SST<sub>std</sub> مقدار استاندارد شده SST<sub>std</sub> فصل اکتبر تا نوامبر دریای شمال و R مقدار بارش (mm) است.

جدول ۲- خلاصه مشاهدات اثر دمای سطح دریا در نقاط شاخص انتخاب شده بر بارش منطقه. ستون های پنجم و ششم مقادیر استاندارد شده سیگنال هایی را نشان می دهند که به ازای آنها بارش در منطقه بیشتر با کمتر از میانگین بلندمدت بوده است.

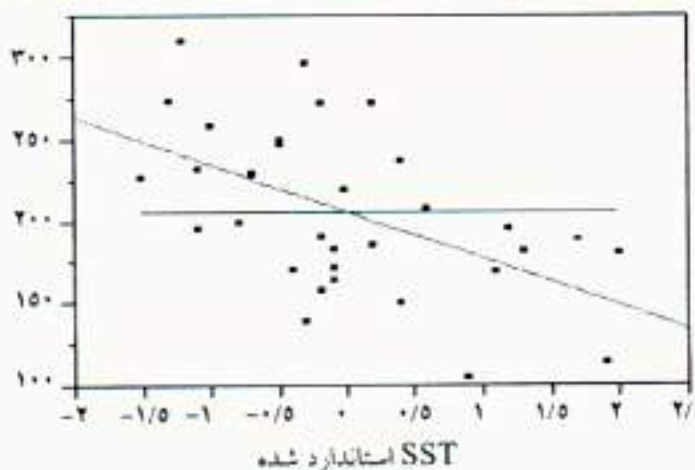
نام نقاط مورد استفاده	P-Value	فصل	بارش بیشتر از میانگین	بارش کمتر از میانگین	ضریب همبستگی
دریای سیاه	0.005	سپتامبر تا نوامبر	-0.33	SST > 0.1	-
شبکه ایسلند	0.03	اگوست تا نوامبر	-0.36	SST > 0.2	SST < -0.6
شمال خلیج فارس	0.03	نوامبر	-0.37	SST > 0.8	SST < -1.0
دریای شمال	0.001	اکتبر تا نوامبر	-0.53	SST > 0.5	SST < -0.6
جنوب دریای سرخ	0.005	اگوست تا نوامبر	-0.33	SST > 0.9	-
شبکه سیبری	0.008	زونن تا نوامبر	-0.40	0.1 < SST < 1	SST < -1.0
غرب مدیترانه	0.0003	اگوست تا نوامبر	-0.58	SST > 0.4	SST < -1.6

لازم است، فرض مناسب بودن یک خط مستقیم جهت نشان دادن رابطه بین دو متغیر مورد بررسی قرار می گیرد (سپاهی، ۱۹۹۷). در این تحقیق نیز فرض وجود رابطه خطی بین دو متغیر مورد آزمون قرار گرفته است. در این تحقیق، بارش متوسط منطقه ای به عنوان متغیر وابسته و مقادیر استاندارد شده نشانه های پهن مقیاس اقلیمی به عنوان متغیر مستقل در نظر گرفته شد. سپس، تحلیل همبستگی بین آنها انجام و بعد از وجود همبستگی معنی دار در سطح ۵ درصد، معادله خط رگرسیون برای بارش و نشانه های پهن مقیاس اقلیمی محاسبه شد. در مرحله بعد، آزمون معنی دار بودن رگرسیون خطی در محیط نرم افزار جامب ۴ انجام شد تا مشخص شود آیا رابطه خطی بین دو متغیر وجود دارد یا خیر؟ در نهایت بعد از بدست آوردن معادله خط رگرسیون، آزمون معنی دار بودن شبیه خط رگرسیون مورد آزمون قرار گرفت تا مشخص شود آیا این خط بهترین معادله خطی هست که از بین نقاط عبور داده شده است یا نه؟ که نتایج آن برای یکی از نشانه های پهن مقیاس در مبحث نتایج و بحث آمده است.

## نتایج و بحث

نتایج مربوط به بررسی ارتباط تغیرات دمای سطح دریا با بارش منطقه مورد مطالعه: خلاصه مشاهدات اثر دمای





شکل ۲- تغییرات بارش فصل بعد نسبت به SST استاندارد شده اکتبر تا نوامبر دریای شمال. خط مورب، خط رگرسیون و خط افقی میانگین بارش می‌باشد.

**بارش منطقه:** خلاصه مشاهدات اثر  $\Delta SST$  در نقاط شاخص بارش منطقه در جدول ۴ نشان داده شده است. همان‌طور که دیده می‌شود، ضریب همبستگی  $\Delta SST$  در بازه‌های زمانی جولای تا نوامبر گریبانند، زوئن تا نوامبر شبکه ایسلند، اگوست تا نوامبر دریای لابرادور با بارش منطقه مثبت و ضریب همبستگی بین  $\Delta SST$  در بازه زمانی اکتبر تا نوامبر شمال خلیج فارس با بارش منطقه منفی بوده و ارتباطی را با وقوع دوره‌های کم‌بارش و پربارش در منطقه نشان می‌دهند و می‌توانند به عنوان شاخصی برای پیش‌بینی وقوع دوره‌های کم‌بارش و پربارش در منطقه به کار بردند.

جدول ۳ نتایج نجزیه واریانس تغییرات بارش فصل بعد نسبت به SST استاندارد شده فصل اکتبر تا نوامبر دریای شمال را نشان می‌دهد. همان‌طور که در جدول ۳ دیده می‌شود، نسبت F در سطح ۱ درصد معنی‌دار است و نشان‌دهنده ارتباط قوی تغییرات SST دریای شمال در فصل اکتبر تا نوامبر با بارش دسامبر تا می (آذر تا اردیبهشت) منطقه مورد مطالعه می‌باشد. آزمون معنی‌دار بودن شبیه خط رگرسیون نیز انجام و مشخص شد شبیه خط رگرسیون نیز در سطح ۱ درصد معنی‌دار است. مقدار P-value برای آزمون معنی‌دار بودن شبیه خط رگرسیون ۰/۰۰۱۳ به دست آمد.

### نتایج مربوط به بررسی ارتباط تغییرات $\Delta SST$ با

جدول ۴- نجزیه واریانس تغییرات بارش فصل بعد نسبت به SST استاندارد شده اکتبر تا نوامبر دریای شمال.

متابع	درجه آزادی	مجموع مربعات	میانگین مربعات	F نسبت
رگرسیون خطی	۱	۲۲۸۶۵/۴۶۱	۲۲۸۶۵/۰	۱۲/۵۳۷۱
باقی مانده	۳۱	۵۶۵۳۸/۵۳۹	۱۸۲۲۳/۸	Prob > F
کل	۳۲	۷۹۴۰۴		۰/۰۰۱۳

جدول ۴- خلاصه مشاهدات اثر  $\Delta SST$  در مناطق شاخص انتخاب شده بر بارش منطقه. متون‌های پنجم و ششم مقادیر استاندارد شده سیگنال‌هایی را نشان می‌دهند که به ازای آنها بارش در منطقه مورد مطالعه بیشتر یا کمتر از میانگین بلندمدت بوده است.

نام نقاط مورد استفاده	فصل	P-Value	ضریب همبستگی	بارش کمتر از میانگین	بارش بیشتر از میانگین	F نسبت
گرینلند	ژولای تا نوامبر	۰/۰۲	$\Delta SST < -0.5$	$\Delta SST > -0.5$	$-0.39$	$12/5371$
شبکه ایسلند	زوئن تا نوامبر	۰/۰۵	$-0.1 < \Delta SST < 0.5$	$\Delta SST < -0.1$	$0.33$	$1/1 < \Delta SST < 0.5$
دریای لابرادور	اگوست تا نوامبر	۰/۰۰۲	$\Delta SST < 0.4$	$\Delta SST > 0.4$	$0.5$	$\Delta SST > 0/5$
شمال خلیج فارس	اکتبر تا نوامبر	۰/۰۱	$-0.1 < \Delta SST < 0.5$	$\Delta SST < -0.1$	$-0.1$	$\Delta SST < -0/7$

1- Sea Surface Temperature Difference (between Surface and 1000 mb Level )



شمال شرق کشور استفاده کرد. به عنوان مثال، مطابق نتایج به دست آمده توسط ناظم السادات (۱۹۹۸) بارش زمستانه (زانویه تا مارس) مناطق جنوب و جنوب غرب ایران با SST خلیج فارس نسبت عکس دارد که نتایج به دست آمده توسط این تحقیق نیز این موضوع را تصدیق می‌کند و نشان‌دهنده ارتباط معکوس SST و  $\Delta SST$  با بارش منطقه شمال شرق ایران است. بنابراین، با توجه به نتایج به دست آمده از این تحقیق، می‌توان از این نشانه‌های اقلیمی در پیش‌بینی سال‌های خشک و تر در منطقه استفاده کرد.

در این میان، ضریب همبستگی بین  $\Delta SST$  با بارش منطقه در بازه‌های زمانی اگوست تا نوامبر دریای لابرادور و اکتبر تا نوامبر شمال خلیج فارس از دیگر سیگنال‌ها بیشتر بوده و در سطح ۱ درصد معنی‌دار است.

## بحث و نتیجه‌گیری

مقایسه نتایج به دست آمده از این تحقیق با نتایج به دست آمده توسط محققین دیگر از قبیل تحقیق انجام شده توسط ناظم السادات (۱۹۹۸) نشان‌دهنده ارتباط معنی‌دار سیگنال‌های SST و  $\Delta SST$  با بارش منطقه شمال شرق کشور است و چنین استنباط می‌شود که می‌توان از سیگنال‌های SST و  $\Delta SST$  برای پیش‌بینی بارش منطقه

## منابع

1. Abraham, A., Sajeeth Philip, N., and Joseph, B. 2004. Will We Have a Wet Summer? Long-term Rain Forecasting Using Soft Computing Models, Modeling and Simulation, Publication of the Society for Computer Simulation International, Prague, Czech Republic, pp. 1044-
2. Alijani, B. 2002. Synoptic Climatology. Samt. Press, First Edition. Pp: 257.
3. Alizadeh, A. 2001. Principles of Applied Hydrology. Imam Reza University Press, 10th Edition. PP 735.
4. Gissila, T., Black, E., Grimes, D.I.F., and Slingo, J.M. 2004. Seasonal forecasting of the Ethiopian summer rains. International Journal of Climatology. Volume 24: 1345–1358.
5. Karamouz, M. 2006. Long Term Rainfall Forecasting Using By Meteorological Signals. Islamic republic of Iranian Meteorological rganization. Project report No 342.
6. Koureh Pazan, A. 2003. M.Sc Thesis. Impact of Meteorological Signals in Rainfall. Amirkabir University of Tehran. Changes Forecasting. M.Sc Thesis. Amir Kabir University.
7. Mariotti, A., Zeng, N., and Lau, K.M. 2002. Euro-Mediterranean rainfall and ENSO-a seasonally varying relationship. Geophysical Research Letters, Vol. 29: No.12. pp: 1621-1632.
8. Nazemosadat, M.J. 2001. Will it rain? Drought and rainfall in Iran and their relation with ENSO. Shiraz University Press. Number of pages 102.
9. Nicholson, S.E., and Selato, J.C. 2000. The Association between ENSO and Winter Atmospheric Circulation and Temperature in the North Atlantic Region, Journal of Climate, Vol. 14: 3408-3420.
10. Rezaee Pazhand, H. 2002. Application of Probability and Statistics In Water Resources,. Sokhan Gostar Press., 1 th Edition, 456 pp.
11. Sepahi, A. 1997. Application of Statistical In Agricultural Research, Agricultural Research, Education and Extension Organization Press, 1th Edition, 384 pp.
12. Van Oldenborgh, G.J., Balmaseda, M.A., Ferranti, L., Stockdale, T.N., and Anderson, D.L.T. 2003. Did the ECMWF seasonal forecast model outperform A statistical model over the last 15 years? Technical Memorandum. No. 418. PP.34
13. Pozo-Vasquez, D. 2001. The Association between Enso and Winter Atmospheric Circulation and Temprature in the North Atlantic Region, Journal of Climate, Vol. 14: 3408-3420.
14. Woong Kim, T., Yoo, C., and Hyun, A.J. 2007. Influence of climate variation on seasonal precipitation in the Colorado River Basin., Journal of Stochastic Environmental Research and Risk Assessment. Vol 22, Number 3, pp: 411-420.
15. Zahraie, B., Karamouz, M., and Eghdami Rad, S. 2005. Seasonal rainfall Forecasting using meteorological sygnals. Proceeding of the first conference of Iran water sources management. Vol. 1: Pp.12.

